



دانشگاه صنعتی امیرکبیر  
(پلی تکنیک تهران)



نشریه علمی پژوهشی امیرکبیر مهندسی عمران و محیط زیست

AmirKabir Journal of Science & Research  
Civil and Environmental Engineering  
(ASJR-CEE)

دوره ۴۸، شماره ۱، بهار ۱۳۹۵، صفحه ۳۹ تا ۵۲  
Vol. 48, No. 1, Spring 2016, pp. 39-52

## مقاومت نهایی تیرهای بتونی تقویت شده با CFRP انعطاف‌پذیر و سخت، در دمای بالا و بخزدگی

محمود نادری<sup>۱</sup>، سیامک اسماعلی زاده<sup>۲</sup>

- ۱- دانشیار، دانشکده فنی و مهندسی، دانشگاه بین المللی امام خمینی (ره)  
۲- دانشجوی ارشد سازه، دانشکده فنی و مهندسی، دانشگاه بین المللی امام خمینی (ره)

(دریافت: ۱۳۹۱/۱۱/۲۵، پذیرش: ۱۳۹۳/۰۶/۲۹)

### چکیده

در سال‌های اخیر، استفاده از ورق‌های پلیمری مسلح شده با الیاف کربنی (CFRP)، به عنوان سیستمی برای مقاوم‌سازی سازه‌ها، رونق بیشتری یافته است. به نظر نویسنده، یکی از مشکلات این سیستم می‌تواند عملکرد آن در شرایط دمای بالا و بخزدگی باشد. به همین منظور در این مقاله، نتایج مطالعات انجام شده بر عملکرد تیرهای بتونی تقویت شده با CFRP در دماهای بالا و بخزدگی ارائه شده است. برای این بررسی‌ها، ۲۴ تیر بتونی غیر مسلح به ابعاد  $100 \times 100 \times 350$  میلیمتر، با بکارگیری سه ردۀ مقاومتی بتون، ساخته شدند. پس از عملآوری، این تیرها با ورق‌های CFRP انعطاف‌پذیر و سخت، مقاوم‌سازی شدند. پس از سفت و سخت شدن چسب بکارگرفته شده برای چسباندن ورق‌های CFRP، نمونه‌ها در شرایط دمایی  $-20^\circ\text{C}$ ،  $50^\circ\text{C}$  و  $80^\circ\text{C}$  درجه سانتیگراد قرار داده شدند و آزمایش خمی چهار نقطه‌ای روی آنها انجام شد. نتایج حاصله نشان می‌دهد که پارگی ورق‌های CFRP در دمای اتناق ناشی از ترک‌های خمی و در دماهای بالا و پایین، ناشی از تنفس‌های برشی بوده است. به نظر می‌رسد تنفس‌های دمایی موجود علاوه بر تأثیرش بر مقاومت چسبندگی بین ورق‌های CFRP، بر خواص مصالح نیز تأثیر جدی داشته باشد. بررسی مقاومت نهایی تیرهای بتونی تقویت شده نیز بیانگر آنست که با رسیدن چسب به دمای گذار شیشه‌ای ( $T_g$ ) کاهش مقاومت نهایی، قابل توجه است. همچنین در این مقاله، نتایج به دست آمده از نمونه‌های آزمایشگاهی، با نتایج حاصل از روش‌های تحلیلی مورد مقایسه قرار گرفته اند.

کلمات کلیدی:

CFRP، مقاوم‌سازی، دما، تیر بتونی، پارگی، مقاومت نهایی

این پیشنهاد‌ها، مقدار حد اکثر افزایش مقاومت حاصله را به تفاوت ضرایب اینمنی مربوط به ترکیب بارهای ویژه و ترکیب بارهای نهایی محدود می‌کند. در مطالعات صورت گرفته، مشخص شده است که چسبندگی موجود بین بتن و لایه CFRP در نزدیکی و یا بالای دمای گذار شیشه‌ای چسب یعنی  $T_c$  از بین می‌رود. رفتار FRP‌های تقویتی می‌تواند تحت تاثیر تغییرات دمایی محیط بهره برداری، به دلیل اختلاف زیاد بین ضرایب انبساط دمایی بتن و CFRP باشد. وجود این اختلاف، تنفس های حرارتی در محل اتصال CFRP با چسب و چسب با بتن را موجب می‌شود که بر رفتار سازه تاثیر می‌گذارد. علاوه بر این، مشخصات فاز های مختلف بتن، چسب، CFRP و مرز بین آنها تحت تاثیر قرار می‌گیرند. گفته می‌شود که افزایش دما، تاثیرات منفی خاصی روی چسب موجود، حتی در دماهای پایین تر از دمای گذار شیشه‌ای چسب دارد[۶].

هدف اصلی تحقیقاتی که نتایجش در این مقاله آورده شده است، درک صحیح از رفتار تیرهای پتنی مقاوم شده با CFRP انعطاف‌پذیر و سخت، تحت شرایط دمایی بالا و نیز بخزندگی بوده است که با بکارگیری تیرهای پتنی و چسباندن ورق های CFRP و تعیین مقاومت نهایی آنها در خمین، نوع شکست این نمونه‌ها نیز مورد بررسی قرار گرفت. بدین منظور ۲۴ نمونه تیر پتنی بدون آرماتور به ابعاد  $100 \times 350$  میلیمتر ساخته شدند. در این نمونه‌ها از سه رده مقاومتی بتن استفاده وسپس با CFRP سخت و انعطاف‌پذیر بصورت خمینی تقویت شده و تحت سیکل های تغییر دمایی  $-20^{\circ}\text{C}$ ,  $+50^{\circ}\text{C}$ ,  $+80^{\circ}\text{C}$  و قرار گرفته و بوسیله دستگاه آزمون خمینی ۴ نقطه‌ای تست شده و با نمونه‌های شاهد قرار گرفته در محیط اتاق از نظر مقاومت نهایی، نوع شکست و غیره مقایسه شدند.

## ۲- اثر گرما بر خواص مواد

یک سازه پتنی مقاوم شده با CFRP از موادی مانند بتن، میلگرد، CFRP و چسب تشکیل شده است. بعضی از این مواد بیشتر تحت تاثیر حرارت قرار می‌گیرند، بویژه مشخصات چسب بطور قابل توجهی حدود دمای گذار شیشه‌ای را تغییر می‌کند.

دمای گذار شیشه‌ای دمایی است که در آن مواد بین شکل مانند شیشه یا پلیمرهایی با جرم مولکولی بالا، از حالت شکنندگی به حالت خمیری تبدیل می‌شوند[۱].

## ۳- بتن

اثر گرما بر خواص بتن توسط بسیاری از پژوهشگران مورد بررسی قرار گرفته و بعضی از این نتایج رسانیده اند که گرما منجر به تبخیر آب از بتن و تغییرات در ترکیب شیمیایی و ساختار فیزیکی آن می‌شود. عموماً این تغییرات محدود به خمیره سیمان هستند و سنگدانه‌ها تاثیر کمی می‌پذیرند. در دمای  $90^{\circ}\text{C}$  درجه سانتیگراد، مقاومت فشاری بتن به ۶۵ تا  $90^{\circ}\text{C}$  درصد مقاومت اولیه کاهش می‌یابد. این کاهش مقاومت عموماً به دلیل تبخیر آب آزاد بتن و از دست رفتن چسبندگی بین خمیره سیمان و سنگدانه‌ها به دلیل وجود اختلاف ضریب انبساط دمایی بین مواد است.

## ۱- مقدمه

در سال های اخیر، مقاوم سازی سازه های موجود بطور فزاینده ای مهم شده است. دلایل مختلف باعث این امر شده است که فرسودگی سازه ها، افزایش خطاهای طراحی و اجرائی از جمله این عوامل هستند. علاوه، بسیاری از سازه های موجود، به علت افزایش بارهای وارد، نیاز به افزایش مقاومت دارند [۷].

از نقطه نظر محیط‌زیستی و اقتصادی نیز ترمیم، تعمیر، تقویت و مقاوم سازی سازه های موجود بر تخریب و دوباره سازی سازه ها ارجحیت دارد. همچنین در بسیاری از موارد، مقاوم سازی سازه ها کم هزینه تر و کم درسترن از نوسازی آن ها است. علاوه بر این، سرعت مقاوم سازی بیش از نوسازی بوده که باعث خارج شدن سازه از سرویس دهی برای مدت طولانی است [۲].

از جمله پیشرفت های اخیر در صنعت مقاوم سازی، استفاده از روکش های تقویت کننده پلیمر های مسلح شده با الیاف (FRP) است که برای مقاوم سازی سازه های پتنی، فولادی، بتنی و حتی چوبی به کار گرفته می‌شود. پذیرش روش مقاوم سازی با سیستم FRP ارتباط نزدیکی با سطح اعتماد مهندسان سازه، مستولان و کارفرمایان به این روش دارد. اعتماد کافی می‌تواند از طریق انجام آزمایش های استاندارد و درک بهتر رفتار سازه های تقویت شده با FRP در شرایط مختلف بدست آید. درک درست از رفتار سازه در شرایط عادی، دمای بالا و دمای پایین، برای پذیرش این روش ضروری است [۳].

در سال ۲۰۰۳ میلادی، برای بررسی نیاز های تحقیقاتی در حوزه مواد FRP برای مقاوم سازی سازه های پتنی، کمیته ای تشکیل شد. در این بررسی ها مشخص شد که "دوام" و "مقاومت در برابر آتش" سیستم های FRP نیازمند بررسی های جدی است. یکی از جنبه های "دوام" این بررسی ها که ارتباط نزدیکی با مقاومت در برابر آتش دارد، اثر دمای بالا بر رفتار سازه های تقویت شده با FRP است [۴].

در مطالعه ای دیگر که برای شناسایی و اولویت بندی اطلاعات مهم مرتبط با دوام ورقة ها و میلگرد های FRP انجام شد، مشخص شد که اطلاعات موجود در رابطه با سازه های تقویت شده با FRP زمانی که در معرض دماهای بالا و یا چرخه های بخزندگی و ذوب قرار می‌گیرند، بسیار اندک است [۵].

در آئین نامه هایی از جمله ۱۴ ACI 440.2R، (fib 2001)fib-Bulletin 02 و نشریه شماره ۳۴۵ سازمان مدیریت و برنامه ریزی کشور، اثر آتش سوزی روی سازه های تقویت شده با FRP بصورت یک بار ویژه به شمار می‌رود که در آن سهم FRP در مقاومت، ناچیز در نظر گرفته می‌شود. این موضوع بدان معناست که پس از بند FRP سازه باید توانایی مقاومت در برابر بارهای وارد و با ضرایب اینمی مورد نظر را (ضرایب بار و مصالح) داشته باشد. اعتقاد بر این است که بدین ترتیب از ریزش ناگهانی سازه تقویت شده با FRP پس از بند رفتن یک باره چسبندگی بین بتن و FRP (بطور مثال در هنگام آتش سوزی و یا خرابکاری) جلوگیری می‌شود.

اثرات گرما بر چسب هایی که برای چسباندن FRP به بتن استفاده می شوند مانند مواد ماتریس است، چون در اصل آنها مشابه هستند. چسب ها رفتار متفاوتی در مقابل گرما داشته و ضرایب انبساط حرارتی متفاوتی دارند. به هر حال ضریب انبساط حرارتی چسب به مراتب پایین تر از مواد ماتریس است.

چسب مورد استفاده در این تحقیقات یک چسب دو جزئی است که رزین آن با نام تجاری اپیکوت ۸۲۸ و جزء سخت کننده آن با نام تجاری اپیکور ۲۰۵ شناخته می شود. رزین اپوکسی بر پایه دی‌گلیسریل اترفنول و سخت کننده بر پایه جزء عمل آورنده آمینی است. طبق اطلاعات کارخانه تولید کننده چسب، نسبت استوکیومتری اختلاط این دو جزء بصورت ۵۸/۴۲٪ عمل آور به ازای ۱۰۰ واحد وزنی رزین اپوکسی است.

یکی از محققین تحقیقات گسترده ای بر روی دمای گذار شیشه‌ای ( $T_g$ ) و همچنین مدول الاستیسیته اپوکسی مورد نظر با تغییر نسبت جزء سخت کننده انجام داده است. او این پارامترها را به عامل نسبت ( $\tau$ ) مربوط کرده است. مقادیر مختلف نسبت اختلاط و  $\tau$  مربوط به هر کدام در جدول ۱ آورده شده است [۱۱].

جدول ۱: نسبت نمونه های رزین اپوکسی اپیکوت ۸۲۸ و جزء سخت کننده اپیکور اف ۲۰۵ [۱۱]

نسبت اپوکسی (قسمت درصد)	حرum اپیکوت ۸۲۸ (گرم)	حرum اپیکور اف ۲۰۵ (گرم)	معادل با آمین ( $r$ )	حجم آمین
۲۹/۰	۹/۰	۳۱/۰	۰/۵	
۳۴/۷	۱۰/۳	۲۹/۷	۰/۶	
۴۰/۶	۱۲/۰	۳۲/۰	۰/۷	
۴۵/۸	۱۱/۰	۲۴/۰	۰/۸	
۵۲/۰	۱۵/۴	۲۹/۶	۰/۹	
۵۹/۲	۱۵/۰	۲۵/۳	۱/۰	
۶۶/۵	۱۶/۶	۲۳/۹	۱/۲	
۷۵/۵	۱۷/۳	۲۲/۹	۱/۳	

رابطه بین  $T_g$  و  $\tau$  در منحنی شکل (۲) رسم شده است. با توجه به این شکل، مشاهده می گردد که مقدار بیشینه  $T_g$  نزدیک به نسبت استوکیومتری ( $r=1$ ) است و هرچه  $\tau$  از نسبت استوکیومتری فاصله می گیرد این مقدار کمتر می شود.

همچنین رابطه بین مدول یانگ ( $E$ ) و  $\tau$  در دمای ۲۰ درجه، در شکل (۳) رسم شده است [۱۱].

از شکل (۳) مشاهده می شود که مدول یانگ چسب در دمای بالا بطور قابل ملاحظه ای کاهش می یابد. همچنین این شکل نشان می دهد که

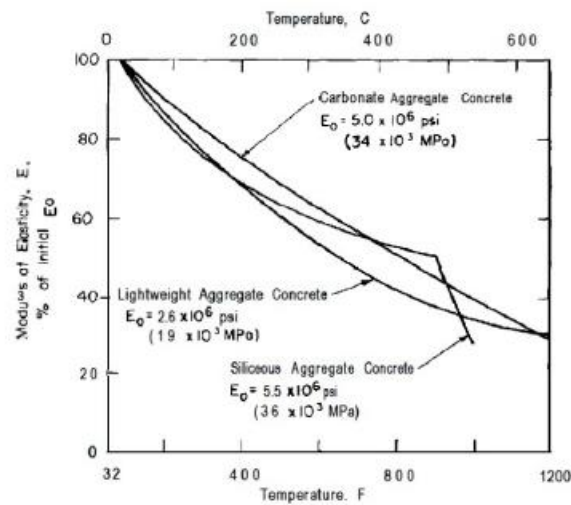
۱ EPIKOTE 828

۲ EPIKURE F 205

۳ Epoxy equivalent amine ratio ( $r$ )

۴ Amine content [pph]

به همین منظور، در آئین نامه ACI 216-R89 (۲۰۰۱) نمودارهایی برای کاهش مقاومت فشاری بتن در دماهای بالا بر اساس نوع سنگدانه های بکار رفته در بتن ارائه شده است [۸]. همچنین گفته می شود مدول یانگ بتن با افزایش گرما به دلیل فقدان چسبندگی در ریز ساختارهای خمیره سیمان، کاهش می یابد. مقایسه نتایج تحقیقات مختلف انجام شده به دلیل تأثیرات رطوبت، خشک شدن بتن، بارگذاری اولیه و نرخ گرمادهی مشکل است. شکل (۱) اثر دماهای بالا بر مدول یانگ بتن های ساخته شده با سه نوع سنگدانه را نشان می دهد. این اطلاعات از مطالعاتی بدست آمده است که در آن از یک روش اپتیکی استفاده شده است. همچنین نشان داده شده است که نوع سنگدانه و مقاومت بتن تأثیر قابل توجهی بر مدول یانگ بتن در دماهای بالا ندارند [۹].



شکل ۱: اثر گرما بر مدول یانگ بتن ساخته شده با سنگدانه های مختلف [۹]

## ۲- پلیمر های مسلح شده با الیاف FRP

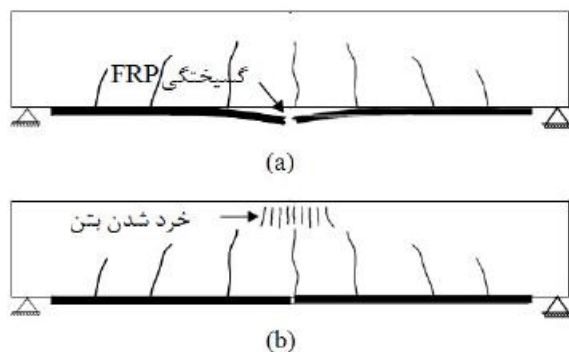
اطلاعات در مورد مشخصات FRP در دماهای بالا محدود است. به علاوه، اثر گرما بر خواص مواد تشکیل دهنده FRP در تولیدات مختلف تفاوت دارد. چون از چند نوع الیاف (شیشه، آرامید و کربن) و چند نوع ماتریس (وینیل استر، پلی استر و اپوکسی) تشکیل شده است. بویژه اینکه خواص ماتریس در دماهای بالا تغییر می کند که می تواند روی FRP نیز تأثیر بگذارد. با افزایش دما، مقاومت انواع مختلف FRP، کاهش می یابد. همچنین باور این است که کاهش مقاومت کششی مصالح FRP، بیشتر از کاهش مقاومت الیاف است که دلیل آن وجود ماتریسی است که الیاف در آن قرار دارند.

همچنین روابطی برای تأثیر دما بر مقاومت کششی انواع FRP پیشنهاد شده است. بر اساس این روابط، با اینکه مقاومت کششی CFRP و AFRP تا ۱۰۰۰C بدون تأثیر می ماند، مقاومت کششی GFRP با افزایش دما بطور ناگهانی کاهش می یابد [۱۰].

## ۳- چسب

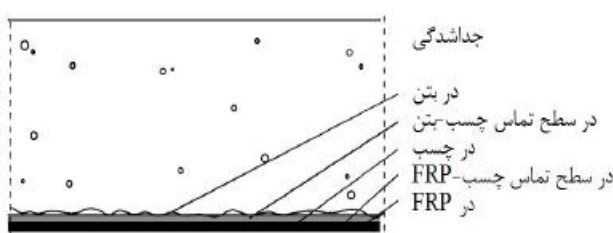
تیر همان حالات گسیختگی معمول در سازه های بتن مسلح معمولی است [۱۴ و ۱۵]. حالت اول گسیختگی خمی معمولاً جاری شدن فولاد به دنبال گسیختگی FRP (شکل ۵(a)), حالت دوم گسیختگی خمی جاری شدن فولاد به دنبال خرد شدن بتن یا خرد شدن بتن بدون جاری شدن فولاد (شکل ۵(b)) و حالت سوم گسیختگی خمی گسیختگی خمی، جداشگی لایه FRP است.

گسیختگی FRP (گسیختگی خمی) عموماً وقتی که لایه های FRP بخوبی در انتهای مهار شده باشند و یا وقتی که نسبت فولاد و FRP به نسبت پایین باشد اتفاق می افتد. خرد شدن بتن بدون جاری شدن فولاد و یا جاری شدن فولاد به دنبال خرد شدن بتن (گسیختگی خمی)، می تواند زمانی اتفاق افتد که نسبت فولاد و FRP زیاد باشد.

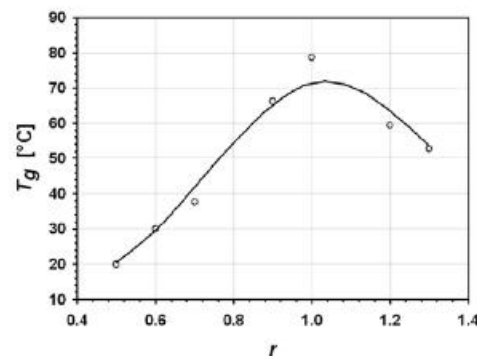


شکل ۵: گسیختگی خمی در اثر گسیختگی FRP (a) و خرد شدن بتن (b)

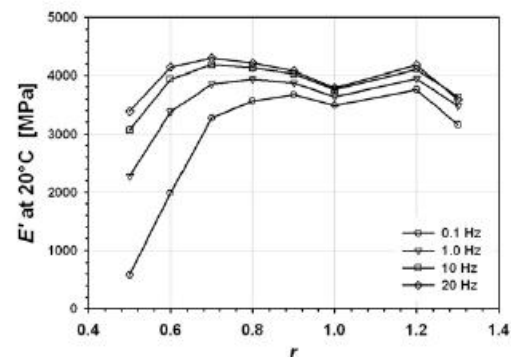
در اکثر موقعیت ها، جداشگی لایه FRP از بتن، (گسیختگی خمی) در سازه های بتونی مقاوم شده با FRP اتفاق می افتد. شروع جدا شدنی در تیر های مقاوم شده با FRP عموماً در ناحیه های با تمکز تنش بالا در سطح تماس بتن با FRP صورت می گیرد. معمولاً این مناطق در انتهای لایه های FRP و در نزدیکی ترک های خمی و برشی قرار دارند. این نوع مکانیزم ها عموماً موجب گسیختگی زودرس تیرهای مقاوم شده با FRP می شوند. در تئوری، جداشگی می تواند به دلیل گسیختگی سطحی صورت گرفته در مژبین بتن و چسب و یا سطح تماس چسب با FRP و یا گسیختگی همچسبی یعنی عدم توانایی یک ماده در مقابله با جداشگی داخلی باشد. در حین گسیختگی همچسبی، ماده چسبانده که به دو سطح چسبیده است، نمی تواند آنها را در کنار هم نگه دارد (شکل ۶).



شکل ۶: سطوح مختلف گسیختگی پوشش های بیرونی [۱۶]

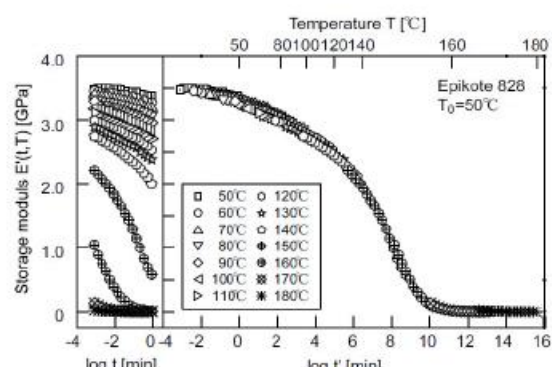


شکل ۲: دمای گذار شیشه ای ایپیکوت ۸۲۸ و اپیکور ۲۰۵ بر حسب نسبت آمین به اپوکسی [۱۱]



شکل ۳: دمای گذار شیشه ای ایپیکوت ۸۲۸ و اپیکور ۲۰۵ بر حسب نسبت آمین به اپوکسی [۱۱]

دمای گذار شیشه ای می تواند با افزایش سیکل های دمایی افزایش یابد [۱۲]. در این ارتباط، اثر دما بر روی چسب مورد استفاده در این تحقیقات نیز در شکل (۴) آورده شده است [۱۳].

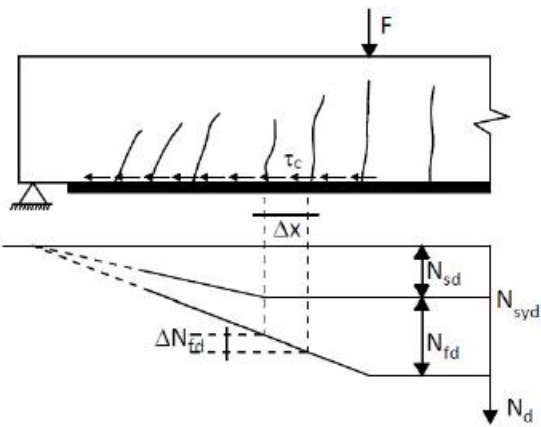


شکل ۴: اثر گرما بر مدول یانگ چسب اپیکوت ۸۲۸ [۱۳]

### ۳- مصالح و روش های آزمایش

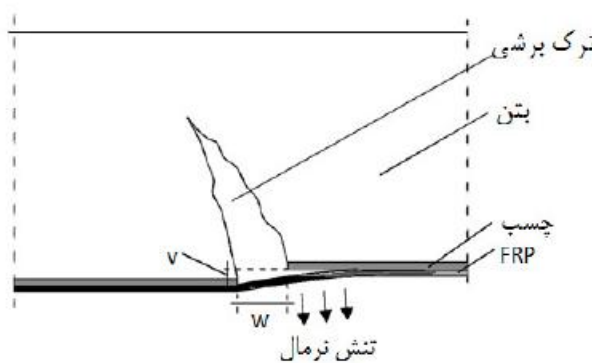
۳-۱- گسیختگی سازه های بتونی مقاوم شده با FRP در خمی برای پی بردن به اثرات دمای بالا و پائین بر عملکرد سازه های بتونی مقاوم شده با FRP، باید رفتار سازه های مقاوم شده با FRP در دماهای عادی مورد توجه قرار گیرد. بطور کلی حالات گسیختگی این سیستم هارا می توان به گسیختگی خمی، گسیختگی برشی و جداشگی لایه های FRP از بستر بتونی تقسیم نمود. گسیختگی خمی و برشی یک

از طرفی تغییرات لنگرخمثی در طول تیر باعث تغییر نیروی قابل تحمل توسط طول کامل ورقه و منسوج FRP می‌شود که در شکل (۹) نشان داده شده است. تغییر تحمل نیرو در FRP در طول کوچک ( $\Delta X$ ) بوسیله تنش های برشی به بتن منتقل می‌شود. این تنش های برشی وقتی که ظرفیت چسبندگی در طول  $\Delta X$  ناکاف باشد، موجب شروع جداسدگی می‌شود [۱۴ و ۱۵].



شکل ۹: تنش های برشی در بتن ناشی از پخش نیرو های FRP [۵]

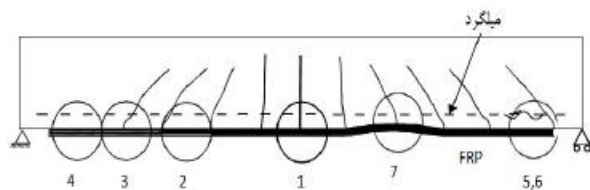
جداسدگی می‌تواند در نوک ترک های برشی آغاز شود [۵ و ۶]. به دلیل شکل مورب ترک های برشی، هر دو نوع جابجایی افقی (w) و عمودی (v) می‌توانند در هر دو سوی ترک اتفاق بیفتد (شکل ۱۰). تغییر مکان عمودی موجب تنش های برشی عمود بر سطح بتن در یک سمت ترک می‌شود که می‌تواند در ترکیب با تنش های برشی در بتن که در قسمت قبل توضیح داده شد موجب آغاز جداسدگی FRP شود. این مسئله عموماً در جاهایی که ترکیب نیروی برشی و ممان خمثی زیاد بوده و ترک های مورب کمترند، اتفاق می‌افتد [۱۴].



شکل ۱۰: جداسدگی موضعی نزدیک ترک های خمثی [۱۴]

۳-۲- مطالعات پیشین  
در آزمایش خمثی اتصال بتن-FRP علاوه بر تنش های برشی، به دلیل انحنای نمونه، تحت تنش های نرمال عمود بر منطقه چسبیده نیز قرار می‌گیرد. در واقع، این انحنای سازه در بسیاری از اعضای مقاوم سازی

همچنین جداسدگی می‌تواند در نقاط مختلفی از طول تیر شروع شود که در شکل (۷) نشان داده شده است.

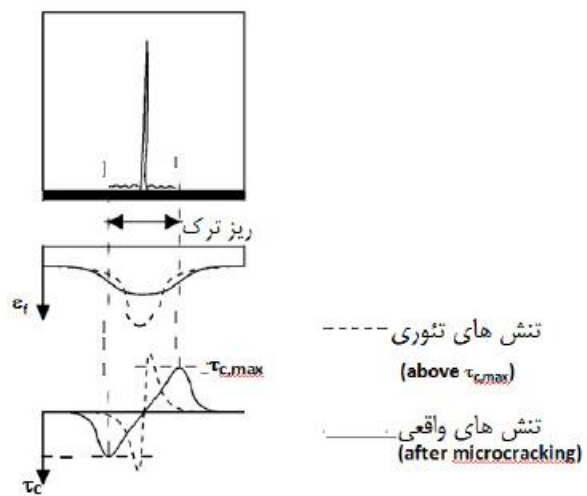


شکل ۷: حالات گسیختگی یک تیر بتن مسلح با FRP چسبیده بیرونی [۱۶]

بر اساس بعضی طبقه بندی ها [۱۶]، حالات گسیختگی که می‌توانند مورد مطالعه قرار گیرند عبارتند از:

۱. جداسدگی در ترک های خمثی
۲. جداسدگی به دلیل تنش های برشی زیاد
۳. جداسدگی در ترک های برشی
۴. جداسدگی در مهاری های انتهایی
۵. گسیختگی برشی در انتهایی صفحه
۶. کنده شدن پوشش بتنی
۷. جداسدگی به دلیل ناهمواری سطح بتن

بعضی از محققین تعریف های خاصی برای مکانیزم جداسدگی عنوان نموده اند [۱۴]. وقتی بتن ترک می‌خورد تنش کششی در بتن باید توسعه FRP و میلگرد تحمل شود که در نتیجه حداکثر تنش کششی در میلگرد و FRP در محل تقاطع با ترک اتفاق می‌افتد (شکل ۸). حداکثر تنش برشی در FRP نیز در دو انتهای نوک ترک (انتهای ترک در طریق تنش برشی بین سطحی منتقل می‌شود. بسیاری از محققان عقیده دارند که این تنش ها تنها باعث جداسدگی موضعی در نزدیک نوک ترک شده و تنش برشی حد اکثر در بتن کاهش می‌یابد (شکل ۸). بنابراین احتمال اینکه این نوع جداسدگی باعث جداسدگی پیش رو نده و گسیختگی تیر شود کم است [۵].



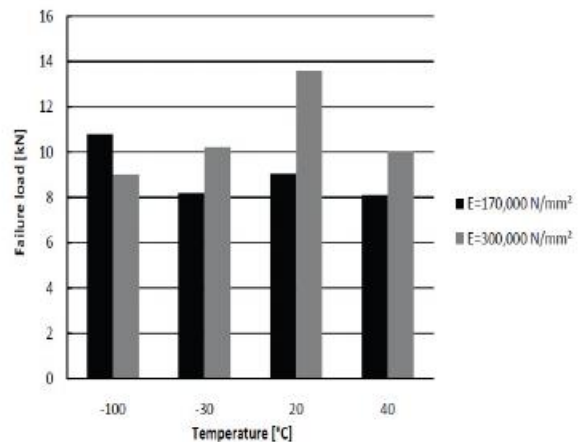
شکل ۸: جداسدگی موضعی نزدیک ترک های خمثی [۱۴]

با FRP انعطاف پذیر و یک نمونه با FRP سخت) در شرایط محیطی اتاق قرار گرفته، و دونمونه در دمای منفی ۲۰ درجه سانتیگراد، دونمونه در دمای مثبت ۵۰ درجه سانتیگراد که پایین تر از دمای گذار شیشه ای چسب یعنی مثبت ۷۰ درجه سانتیگراد و دو نمونه در دمای مثبت ۸۰ درجه سانتیگراد که بالاتر از دمای گذار شیشه ای چسب بود، مورد آزمایش قرار گرفتند. مشخصات این نمونه ها در جدول ۲ آورده شده است. هنگام تعیین مقاومت نمونه ها، آن ها روی یک تکیه گاه مفصلی و یک تکیه گاه غلنكی قرار گرفت و دریک سوم دهانه، بارگذاری شدند. طول دهانه بارگذاری نیز ۳۰ سانتیمتر انتخاب شد. برای نیمی از نمونه ها از CFRP انعطاف پذیر با پهنای ۵۰ میلیمتر، ضخامت یازده سدم میلیمتر و طول ۲۵۰ میلیمتر استفاده شد. همچنین برای نیمی دیگر از نمونه ها، از CFRP سخت با پهنای ۲۰ میلیمتر، ضخامت یک و دو دهم میلیمتر

جدول ۲: مشخصات نمونه های تیر بکار گرفته شده

شرایط دمایی آزمایش (روز)	درجه مقداری (°C)	نوع CFRP	رسی (MPa)
۵۳	۲۰	انعطاف پذیر	۲۰
۵۳	-۲۰	انعطاف پذیر	۲۰
۵۳	۵۰	انعطاف پذیر	۲۰
	۸۰	انعطاف پذیر	۲۰
	۶۷	انعطاف پذیر	۳۰
	-۲۰	انعطاف پذیر	۳۰
۶۷	۵۰	انعطاف پذیر	۳۰
	۸۰	انعطاف پذیر	۳۰
	۵۳	انعطاف پذیر	۴۰
	-۲۰	انعطاف پذیر	۴۰
۵۳	۵۰	انعطاف پذیر	۴۰
	۸۰	انعطاف پذیر	۴۰
	۵۳	سخت	۲۰
	-۲۰	سخت	۲۰
۵۳	۵۰	سخت	۲۰
	۸۰	سخت	۲۰
	۶۷	سخت	۳۰
	-۲۰	سخت	۳۰
۶۷	۵۰	سخت	۳۰
	۸۰	سخت	۳۰
	۵۳	سخت	۴۰
	-۲۰	سخت	۴۰
۵۳	۵۰	سخت	۴۰
	۸۰	سخت	۴۰
	۵۳	سخت	۴۰
	-۲۰	سخت	۴۰

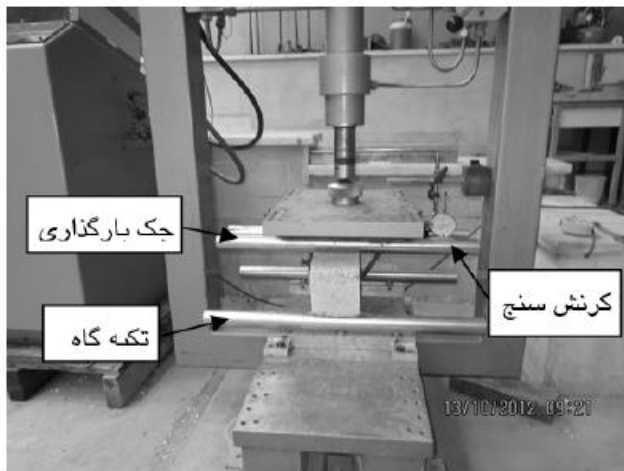
شده مانند دال ها و تیر ها اتفاق می افتد. با بکار گیری نمونه های نمونه ها در دمای اتاق با نوع ورق با مدل یانگ معمولی و بالا مقاوم سازی شده و به ترتیب در دماهای منفی ۱۰۰ درجه سانتیگراد، منفی ۳۰، مثبت ۲۰ و مثبت ۴۰ درجه سانتیگراد مورد آزمایش قرار گرفتند. چسب مورد استفاده نیز دارای دمای گذار شیشه ای حدود ۶۰ درجه سانتیگراد بوده است [۱۷]. براساس این نتایج، در هر دو نوع CFRP مقاومت مشاهده شده پس از افزایش دما به ۴۰ درجه سانتیگراد، نسبت به مقاومت نهایی در دمای اتاق یعنی مثبت ۲۰ درجه سانتیگراد، کاهش می یابد. همچنین در هر دو نوع CFRP مقاومت مشاهده شده پس از کاهش دما به منفی ۳۰ درجه سانتیگراد، نسبت به مقاومت نهایی در دمای اتاق، کاهش می یابد. در دمای منفی ۱۰۰ درجه سانتیگراد، نمونه های مقاوم شده با CFRP با مدل یانگ بالا مقاومت کمتری نسبت به دمای اثاق داشته، و نمونه های مقاوم شده با CFRP با مدل یانگ معمولی، مقاومت بیشتری در مقایسه با نتایج متضاد در دمای اتاق نشان دادند. این یافته در شکل (۱۱) نشان داده شده است.



شکل ۱۱: مقاومت نهایی نمونه ها برای دو رده مدل یانگ CFRP در دماهای مختلف [۱۷]

### ۳-۳- نحوه انجام آزمایش

برای مطالعه تأثیر دما و رطوبت بر مقاومت تیرهای بتی تقویت شده با ورقه های CFRP سخت و انعطاف پذیر، در مجموع ۳۰ نمونه تیر با ابعاد ۱۰۰×۳۵۰×۳۵۰ میلیمتری بدون میلگرد ساخته شد. برای تعیین ابعاد نمونه های بتی از استاندارد ASTM C1609-05 [۱۸] استفاده شد که در آن طول نمونه ها باید در نهایت ۵۰ میلیمتر بیشتر از سه برابر عمق باشد و در هیچ شرایطی کمتر از ۳۵۰ میلیمتر نباشد. این تیرها تحت آزمایش خمسی چهار نقطه ای قرار گرفتند. نمونه ها بصورت شش سری چهار تایی از نمونه ها که هر کدام یک رده بتن بودند، ساخته شدند. رده های بتن مورد استفاده ۲۰، ۳۰ و ۴۰ مگاپاسکال بودند. برای هر رده مقاومت بتی هشت تیر مشابه ساخته شد که در چهار دمای مختلف مورد آزمایش قرار گرفتند. از هر رده مقاومتی بتن دو نمونه (یک نمونه



شکل ۱۴: دستگاه تست خمسه ۴ نقطه‌ای

ساعت باقیمانده و سپس قالب‌ها به آرامی باز شده و اطلاعات مربوط به تاریخ و مقاومت هر نمونه روی آن نوشته شده و به حوضچه آب انتقال یافته و به مدت ۲۸ عمل آوری شدند.

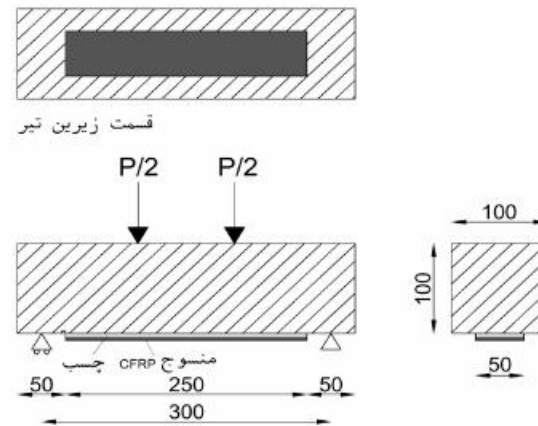
پس از ۲۸ روز نمونه‌ها از آب خارج شدند تا سطح آنها خشک شده و برای چسباندن CFRP آماده شوند. قبل از چسباندن ورقه‌های CFRP، سطح بتن بوسیله سمباده برقی برای از بین بردن لایه ضعیف رویی و گرد و غبار آماده شدند. سپس ورقه‌های CFRP به ابعاد مورد نظر بریده و با بکارگیری چسب مربوطه که شامل مخلوطی از مولفه‌های آرژین اپوکسی و سخت‌کننده با اوزان توصیه شده می‌شدند، چسبانده شده و به مدت یک هفته، برای عمل آوری چسب در محیط آزمایشگاه نگهداری شدند. برای اعمال شرایط این زدگی به نمونه‌های تیرهای تقویت شده با CFRP، از دستورالعمل استاندارد [۱۹] ASTM C884/C884M-98 استفاده شد. بر اساس این دستورالعمل، پس از عمل آوری اپوکسی، نمونه‌ها در معرض ۵ سیکل تغییر دما بین  $25^{\circ}\text{C}$  تا  $21^{\circ}\text{C}$  -  $21^{\circ}\text{C}$  -  $25^{\circ}\text{C}$  قرارداده شده به مدت ۲۴ ساعت، درون فریزر با دمای  $5^{\circ}\text{C}$  و سپس به مدت ۲۴ ساعت در دمای اتاق ( $23 \pm 1^{\circ}\text{C}$ ) قرار گرفت. این روند یک سیکل آزمایش را تشکیل می‌دادند.

برای اعمال شرایط دمای بالا نیز نمونه‌های تیرهای تقویت شده، به همان ترتیب با ۵ سیکل ۴۸ ساعته در درون اون قرار گرفت. برای یک سیکل نمونه‌های مدت ۲۴ ساعت در دمای  $50^{\circ}\text{C}$  و یا  $80^{\circ}\text{C}$  درجه و سپس به مدت ۲۴ ساعت در دمای اتاق قرار داده می‌شوند. درون اون، سطح تقویت شده با CFRP رو به بالا قرار داده شدند.

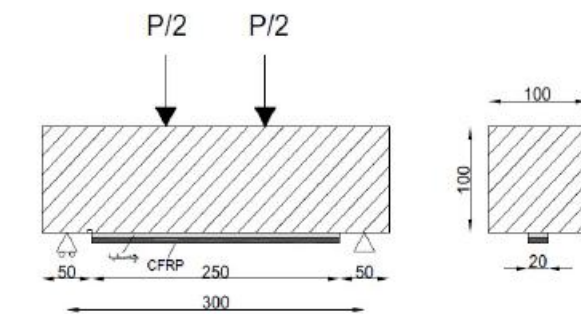
### ۳-۳-۲- مشخصات مصالح

برای تعیین مقاومت فشاری، کششی و مدول یانگ بتن، طبق استاندارد Korea مصالح CFRP مورد استفاده در این تحقیقات محصول کارخانه RE & T Co است که مشخصات پارچه CFRP (با نام تجاری Kor-CFW200) با مدول یانگ  $230 \text{ GPa}$  و مقاومت کششی

و طول  $250 \text{ میلیمتر}$  استفاده شد. باید توجه داشت که تمامی نمونه‌ها در همان دمای مورد نظر تحت آزمایش خمسی قرار گرفتند. تغییر مکان عمودی وسط دهانه نیز توسط کرنش سنج دستی اندازه گیری شد. برای انجام آزمون خمس، نمونه‌های قرار داده شده در آون و فریزر، تحت همان داماد آزمایش قرار گرفتند. دستگاه آزمون خمسی بصورت ۴ نقطه‌ای است که در شکل‌های (۱۲) تا (۱۴) نشان داده شده‌اند. برای اندازه گیری تغییر شکل وسط دهانه، کرنش سنجی در وسط دهانه و روی تیر نصب شد. مشخصات نمونه‌ها نیز در شکل‌های (۱۲) و (۱۴) و نحوه انجام آزمون نیز در شکل (۱۲) نشان داده شده است.



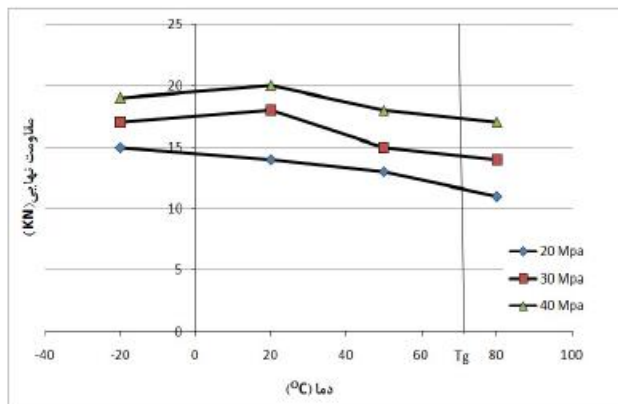
شکل ۱۲: مشخصات نمونه‌های تست خمسی CFRP انعطاف پذیر



شکل ۱۳: مشخصات نمونه‌های تست خمسی CFRP سخت

### ۳-۳-۱- مراحل ساخت نمونه‌ها

پس از انجام دانه بندی و طرح اختلاط بتن مورد نظر، برای هر رده مقاومتی، در یک مرحله قالب‌های آماده شده در سه لایه پر شده و هر بار با  $25 \text{ متریک متر}^3$  ضربه متراکم شدند. همچنین به دیوارهای قالب با چکش پلاستیکی ضربه هایی وارد آمد تا تراکم مناسب حاصل شود. سپس قالب‌ها روی میز لرزان قرار داده شدند و بوسیله ماله و یا خط کش فلزی سطوح بالایی تسطیح شدند. قالب‌ها در شرایط آزمایشگاهی به مدت ۲۴ ساعت

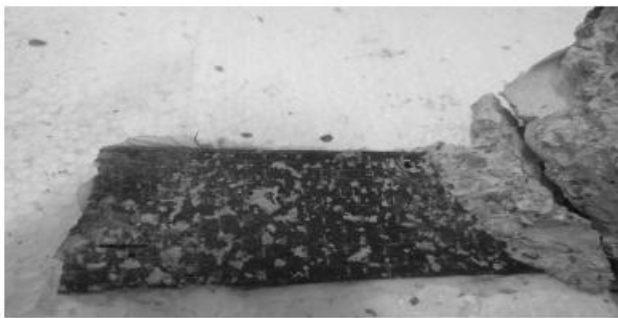


شکل ۱۶: مقاومت نهایی تیرهای تقویت شده با CFRP سخت بر حسب دما

پس از جداشدن گسیختگی، لایه نازکی از بتن چسبیده به لایه چسب باقی مانده است ولی همانگونه که در شکل (۱۸) نشان داده است، در دمای  $+80^{\circ}\text{C}$ ، پس از جداشدن گسیختگی، بتن خیلی کمتری متصل به لایه چسب باقی مانده است که ممکن است که جداشتن گسیختگی از گسیختگی بتن به گسیختگی بین سطحی چسب، در سطح تماس چسب-بتن منتقل شده است.



شکل ۱۷: سطح گسیختگی پس از جداشدن گسیختگی در تیرهای تقویت شده سری A در دمای  $20^{\circ}\text{C}$



شکل ۱۸: سطح گسیختگی پس از جداشدن گسیختگی در تیرهای تقویت شده سری A در دمای  $80^{\circ}\text{C}$

از تصاویر نشان داده شده در شکل (۱۹) می‌توان مشاهده نمود که روند شکست در تیرهای قرار گرفته در دمای اتاق بصورت گسیختگی در وسط دهانه به دلیل وجود ترک‌های خمی اتفاق افتاده است (شکل ۱۹). همانگونه که در بخش‌های قبلی اشاره شد، در محل ترک خمی، تنش کششی (و در نتیجه کرنش کششی) افزایش یافته و در دو سمت ترک

جدول ۳: مشخصات بتن مورد استفاده

مشخصات مکانیکی	MPa40	MPa30	MPa20
مقاومت فشاری (MPa)	۳۹/۵۵	۳۰/۷۵	۱۹/۶۸
مقاومت کششی (MPa)	۱۴/۶	۱۸/۳	۲۰/۸
مدول یانگ (MPa)	۲۹۵۵۸	۲۶۰۶۳	۲۰۸۵۲

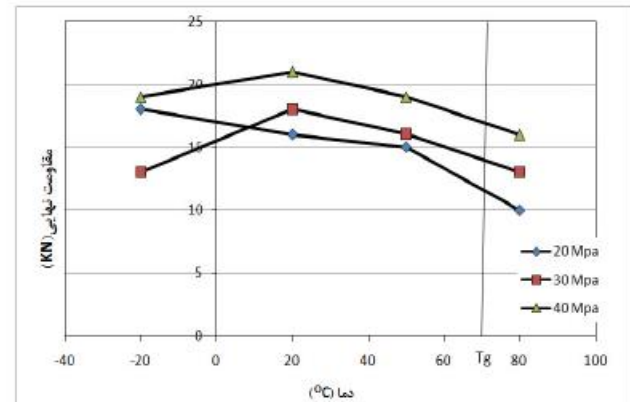
۴۹۰۰ MPa و کرنش گسیختگی  $0.021\%$  بوده است. در این تحقیقات، برای رعایت استوکیومتری در اختلاط دو جزء چسب با توجه به توضیحات بخش ۲-۱، مقدار  $E'$  در دمای  $20^{\circ}\text{C}$  بصورت زیر می‌باشد:

$$T_g = +70^{\circ}\text{C}$$

$$E' = 3400 \text{ MPa}$$

#### ۴- نتایج په دست آمده

۴-۱- مقاومت نهایی به عنوان تابعی از درجه حرارت با مشاهده نتایج حاصل از انجام آزمون خمی بر روی تیرهای تقویت شده با CFRP که در شکل های (۱۵) و (۱۶) نشان داده شده‌اند، مشخص است که در نمونه‌های قرار گرفته در دمای بالاتر از دمای اتاق، کاهش مقاومت نهایی رخ داده است. همچنین مشاهده می‌شود که این کاهش مقاومت، در نمونه‌های تقویت شده با ورقه‌های CFRP انعطاف‌پذیر در دمای  $+80^{\circ}\text{C}$  نسبت به دمای  $+50^{\circ}\text{C}$  بیشتر است. همچنین ملاحظه می‌شود که در نمونه‌های تقویت شده با CFRP سخت، این کاهش مقاومت با شبکه‌ای ادامه می‌یابد. همچنین پیداست که مقاومت نهایی مربوط به دمای  $20^{\circ}\text{C}$ ، نسبت به مقاومت متناظر در دمای اتاق، افزایش مقاومت را در نمونه‌های با مقاومت فشاری  $19/68 \text{ MPa}$  و کاهش مقاومت نهایی را در نمونه‌های با مقاومت فشاری  $30/75 \text{ MPa}$  و  $39/55 \text{ MPa}$  را نشان می‌دهد.



شکل ۱۵: مقاومت نهایی تیرهای تقویت شده با CFRP انعطاف‌پذیر بر حسب دما

#### ۴-۲- بررسی تیرهای با CFRP انعطاف‌پذیر

##### ۴-۲-۱- تیرهای سری A

همانگونه که در شکل (۱۷) مشاهده می‌شود، در دمای  $20^{\circ}\text{C}$  و  $+20^{\circ}\text{C}$  و  $+50^{\circ}\text{C}$ ، گسیختگی جداشدنی در بتن گسترش یافته و

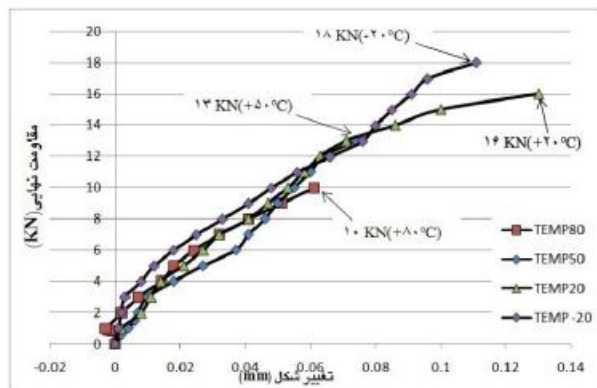


(d)

شکل ۱۹: سطح گسیختگی تیرهای سری A (a) در دمای  $-20^{\circ}\text{C}$ , (b) در دمای  $20^{\circ}\text{C}$ , (c) در دمای  $50^{\circ}\text{C}$ , (d) در دمای  $80^{\circ}\text{C}$

مسئله تغییر روند گسیختگی در نمونه های قرار گرفته در دماهای پایین و بالا را شاید بتوان به اختلاف ضریب انبساط حرارتی موجود بین بتن و CFRP که باعث ایجاد تنش های برشی اضافه بر تنش های برشی بارگذاری شده داشت که بدلیل عدم وجود فولاد برشی در تیر، باعث گسیختگی جدالشگی تحت تنش های برشی زیاد شده است.

نمودار مقاومت نهایی بر حسب تغییر شکل نمونه های سری A در شکل (۲۰) نشان داده شده است. همانگونه که در این شکل قابل مشاهده است، میزان کاهش مقاومت نهایی در دمای  $50^{\circ}\text{C}$  نسبت به دمای اتاق، حدود ۱۹ درصد و کاهش مقاومت نهایی در دمای  $80^{\circ}\text{C}$  نسبت به دمای اتاق حدود ۳۸ درصد است. همچنین می توان مشاهده نمود که در دمای  $20^{\circ}\text{C}$  نسبت به دمای اتاق، افزایش حدود ۱۱ درصدی در مقاومت نهایی را شاهد هستیم که می تواند ناشی از خنثی شدن قسمتی از تنش های برشی بارگذاری، توسط تنش های برشی ناشی از تغییر درجه حرارت باشد.



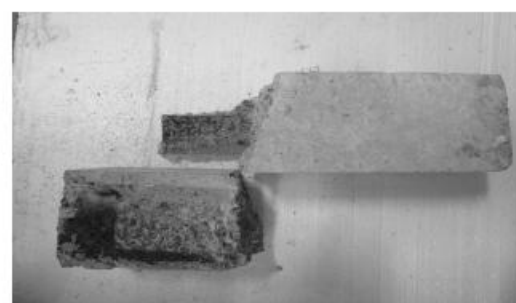
شکل ۲۰: منحنی بار- تغییر شکل برای تیرهای سری A در دمای  $-20^{\circ}\text{C}$ ,  $20^{\circ}\text{C}$ ,  $50^{\circ}\text{C}$  و  $80^{\circ}\text{C}$

باید توجه داشت که هرگاه دما تغییر می کند، تفاوت ضریب انبساط حرارتی بتن ( $\alpha_c \approx 10^{-6} / ^\circ\text{C}$ ) و CFRP ( $\alpha_r \approx 10^{-6} / ^\circ\text{C}$ ) در جهت امتداد طولی الاف) گسترش تنش های حرارتی را در بتن و CFRP

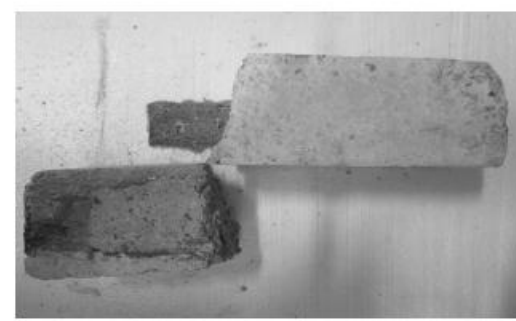
سطح چسبیده بتن و FRP کاهش می یابد. اگر تنش برشی مخرب چسبندگی از یک مقدار بحرانی تجاوز کند، ترک های بین سطحی ایجاد شده و درنتیجه موجب بازپخش کرنش های FRP می شود . شاید بتوان چنین نتیجه گرفت که با وجود جدالشگی موضعی، پیوستگی ترک ها در ترک های خمشی، باعث گسیختگی چسبندگی (نوع سوم گسیختگی) نمی شود [۱۶]. همچنین براساس شکل های (a) و (c) در بقیه تیرهای تقویت شده، گسیختگی در قسمت  $1/3$  دهانه و زیر بار اتفاق افتاده است که ناشی از تنش های برشی زیاد است. تعریف این نوع ترک ها بوسیله بازشدنگی افقی و عمودی ترک مشخص می شود که باعث آغاز پوسته شدن می شود . تنش های پوسته شدن همان تنش های نرمال هستند که دربخش های قبلی اشاره شد. تغییر مکان عمودی موجب تنش های برشی عمود بر سطح بتن در یک سمت ترک می شود که می تواند در ترکیب با تنش های برشی در بتن، موجب آغاز جدالشگی FRP شود. این مسئله عموما در جاهایی که ترکیب نیروی برشی و لنگرخمشی زیاد و ترک های مورب کمترند، دیده میشود [۱۴].



(a)

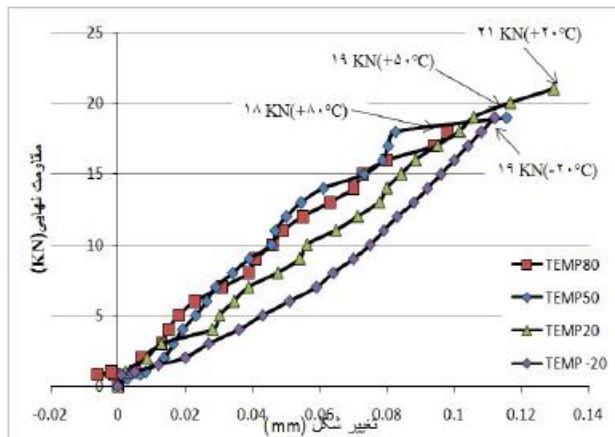


(b)



(c)

شده است. میزان کاهش مقاومت نهایی در دمای  $+50^{\circ}\text{C}$  نسبت به دمای اتاق حدود ۵ درصد و کاهش مقاومت نهایی در دمای  $+80^{\circ}\text{C}$  نسبت به دمای اتاق حدود ۱۰ درصد است و در دمای  $-20^{\circ}\text{C}$  نسبت به دمای اتاق شاهد کاهش ۱۰ درصدی مقاومت نهایی هستیم.



شکل ۲۲: منحنی بار- تغییر شکل برای تیرهای سری C، در دمای  $50^{\circ}\text{C}$ ،  $20^{\circ}\text{C}$ ،  $-20^{\circ}\text{C}$  و  $80^{\circ}\text{C}$

#### ۴-۳- نتایج تیرهای تقویت شده با CFRP سخت

##### ۴-۳-۱- تیرهای سری D

در این سری از نمونه‌ها نیز همانند تیرهای تقویت شده با CFRP انعطاف‌پذیر در دماهای  $-20^{\circ}\text{C}$ ،  $+20^{\circ}\text{C}$  و  $+50^{\circ}\text{C}$  گسیختگی جداسدگی در بتن گسترش می‌یابد و پس از جاداشدگی، لایه نازک از بتن چسبیده به لایه چسب باقی می‌ماند (شکل ۲۳) ولی در دمای  $+80^{\circ}\text{C}$  پس از جاداشدگی، بتن متصل به لایه چسب باقی نمی‌ماند (شکل ۲۴).



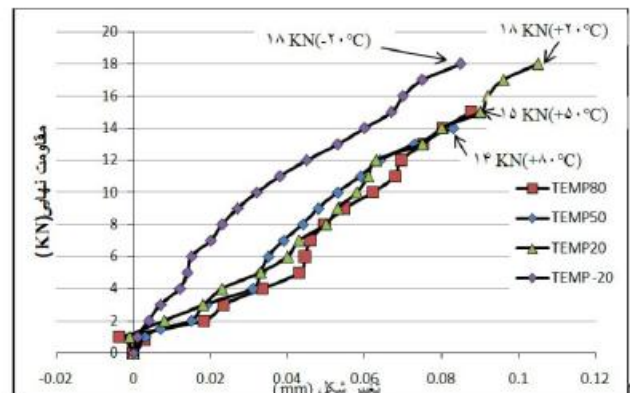
شکل ۲۳: سطح گسیختگی پس از جاداشدگی در تیرهای سری D در دمای  $20^{\circ}\text{C}$

روندهای گسیختگی در تیرهای مقاوم شده با CFRP سخت در دمای  $+20^{\circ}\text{C}$  بصورت گسیختگی بتن و در دماهای بالا و پایین بصورت گسیختگی بین سطحی CFRP است. نمودار مقاومت نهایی بر حسب تغییر شکل نمونه‌های سری D در شکل (۲۵) نشان داده شده است. از این شکل پیداست که مقدار کاهش مقاومت نهایی در دمای  $+50^{\circ}\text{C}$  نسبت به دمای اتاق، حدود ۷ درصد و کاهش مقاومت نهایی در دمای  $+80^{\circ}\text{C}$

باعث می‌شود. عدد منفی ضریب انبساط حرارتی CFRP به معنای انقباض ماده در اثر افزایش دما و انبساط آن بر اثر کاهش دما است [۱]. برای بررسی این مطلب، یک مدل سینماتیک توسط دی توماسو و همکاران<sup>۶</sup> مطرح شده است که می‌تواند برای محاسبه تنش برشی در بتن و تنش نرمال در CFRP مورد استفاده قرار گیرد [۱۷]. لذا شاید بتوان گفت که در زمان بارگذاری نمونه، این تنش‌های اولیه همراه بارگذاری خارجی روی نمونه اثر می‌گذارند. نکته دیگری که باید مورد توجه قرار گیرد، کاهش مدول یانگ چسب در زمان افزایش دما است که می‌تواند اثری بر مقاومت چسبندگی سطح تماس بتن- چسب بگذارد. باید عایت داشت که گرما علاوه بر اینکه بر رفتار تک تک ماده‌ها تاثیر می‌گذارد بر خواص چسبندگی بین مواد مختلف در اتصال CFRP- چسب- بتن نیز اثرگذار است. به نظر می‌رسد در دماهای نزدیک و یا بالای  $T_c$  مقاومت چسبندگی سطحی بتن بطور قابل توجهی کاهش یافته و باعث می‌شود تا مقاومت نهایی نمونه‌ها در دماهای بالا، کاهش یابد.

#### ۴-۲-۲- تیرهای سری B

نتایج این بخش از بررسی‌ها، در شکل (۲۱) نشان داده شده است. از شکل (۲۱) مشاهده می‌شود که روند گسیختگی در این سری از تیرها همانند تیرهای سری A است، با این تفاوت که اختلاف مقاومت نهایی در دماهای  $+50^{\circ}\text{C}$  و  $+80^{\circ}\text{C}$  نسبت به دمای اتاق کمتر شده است. میزان کاهش مقاومت نهایی در دمای  $+50^{\circ}\text{C}$  نسبت به دمای اتاق، حدود ۱۷ درصد و کاهش مقاومت نهایی در دمای  $+80^{\circ}\text{C}$  نسبت به دمای اتاق حدود ۲۲ درصد و مقاومت نهایی در دمای  $-20^{\circ}\text{C}$  برابر با مقاومت نهایی در دمای اتاق است.



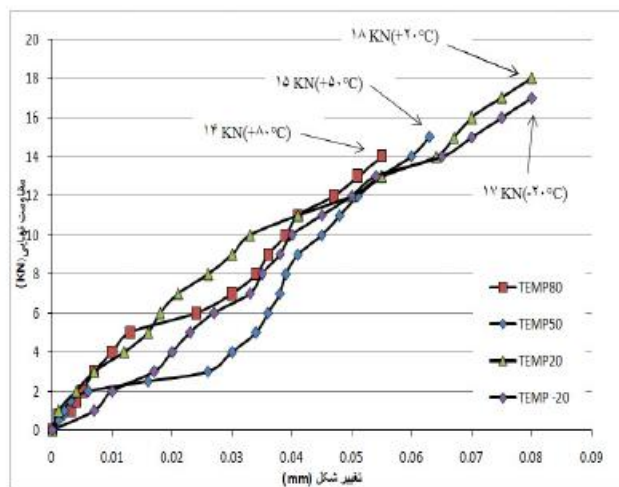
شکل ۲۱: منحنی بار- تغییر شکل برای تیرهای سری B در دمای  $50^{\circ}\text{C}$ ،  $20^{\circ}\text{C}$ ،  $-20^{\circ}\text{C}$  و  $80^{\circ}\text{C}$

#### ۴-۲-۳- تیرهای سری C

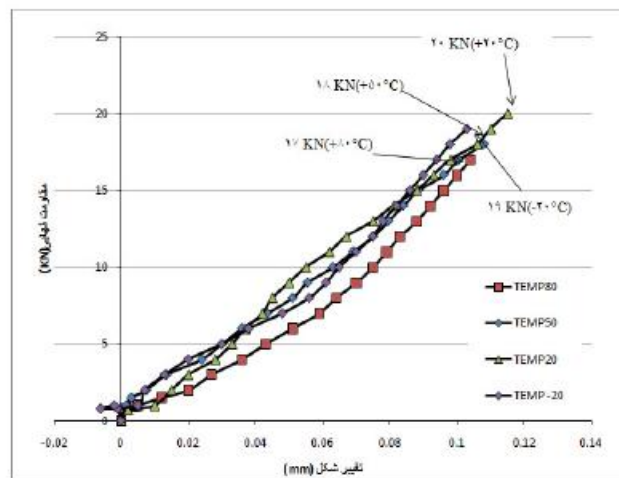
نمودار مقاومت نهایی بر حسب تغییر شکل نمونه‌های سری C در شکل (۲۲) نشان داده شده است. از شکل (۲۲) پیداست که روند گسیختگی در این سری از تیرها همانند سری A و B است، با این تفاوت که اختلاف مقاومت نهایی در دماهای  $+50^{\circ}\text{C}$  و  $+80^{\circ}\text{C}$  نسبت به دمای اتاق کمتر

<sup>6</sup> Di Tommaso et al

مقاومت نهایی در دمای  $+80^{\circ}\text{C}$  + نسبت به دمای اتاق کمتر شده است.  
 میزان کاهش مقاومت نهایی در دمای  $+50^{\circ}\text{C}$  + نسبت به دمای اتاق حدود ۱۰ درصد و کاهش مقاومت نهایی در دمای  $-20^{\circ}\text{C}$  + نسبت به دمای اتاق حدود ۱۵ درصد است. همچنین در دمای  $-20^{\circ}\text{C}$  - نسبت به دمای اتاق شاهد کاهش حدود ۵ درصد مقاومت نهایی هستیم.



شکل ۲۶: منحنی بار - تغییر شکل برای تیرهای سری E در  $80^{\circ}\text{C}$ ،  $50^{\circ}\text{C}$ ،  $-20^{\circ}\text{C}$ ،  $20^{\circ}\text{C}$  و  $0^{\circ}\text{C}$



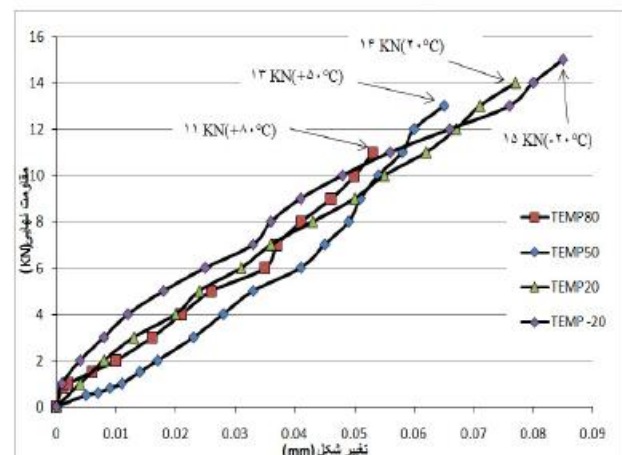
شکل ۲۷: منحنی بار - تغییر شکل برای تیرهای سری F در  $80^{\circ}\text{C}$ ،  $50^{\circ}\text{C}$ ،  $-20^{\circ}\text{C}$ ،  $20^{\circ}\text{C}$  و  $0^{\circ}\text{C}$

۵- مقایسه نتایج آزمایشگاهی با تحلیل آئین نامه ای برای مقایسه نتایج آزمایشگاهی با نتایج متناظر آئین نامه های طراحی از آئین نامه R2-440ACI و همچنین نشریه ۳۴۵ سازمان برنامه استفاده شده است. هر دو آئین نامه، به منظور اعمال شرایط محیطی، جدول مشابهی را مورد استفاده قرار می دهند که در جداول ۴ نشان داده شده است. نتایج تحلیل بوسیله این آئین نامه ها و مقایسه با نتایج آزمایشگاهی در جداول ۴ تا ۸ آورده شده است.

نسبت به دمای اتاق حدود ۲۱ درصد است. در دمای  $20^{\circ}\text{C}$  - نسبت به دمای اتاق شاهد افزایش حدود ۷ درصدی مقاومت نهایی هستیم.



شکل ۲۴: سطح گسیختگی پس از جاذبه در تیرهای سری A در دمای  $50^{\circ}\text{C}$



شکل ۲۵: منحنی بار - تغییر شکل برای تیرهای سری D در  $80^{\circ}\text{C}$ ،  $50^{\circ}\text{C}$ ،  $-20^{\circ}\text{C}$ ،  $20^{\circ}\text{C}$  و  $0^{\circ}\text{C}$

#### ۴-۳-۲- تیرهای سری E

نمودار مقاومت نهایی بر حسب تغییر شکل نمونه های سری E در شکل (۲۶) نشان داده شده است. از این شکل پیداست که روند گسیختگی در این سری از نمونه ها همانند سری D است، با این تفاوت که اختلاف مقاومت نهایی در دمای  $50^{\circ}\text{C}$  + نسبت به دمای  $0^{\circ}\text{C}$  + نسبت به دمای  $-20^{\circ}\text{C}$  و مقدار کاهش مقاومت نهایی در دمای  $0^{\circ}\text{C}$  + نسبت به دمای اتاق حدود ۱۷ درصد و کاهش مقاومت نهایی در دمای  $-20^{\circ}\text{C}$  + نسبت به دمای اتاق حدود ۲۲ درصد است. همچنین مشاهده می شود که در دمای  $-20^{\circ}\text{C}$  - نسبت به دمای اتاق شاهد کاهش حدود ۶ درصدی مقاومت نهایی هستیم.

#### ۴-۳-۳- تیرهای سری F

نمودار مقاومت نهایی بر حسب تغییر شکل نمونه های سری F در شکل (۲۷) نشان داده شده است. براساس این شکل، روند گسیختگی در این سری از تیرها همانند سری های D و E است، با این تفاوت که اختلاف مقاومت نهایی در دمای  $50^{\circ}\text{C}$  + نسبت به دمای اتاق بیشتر و اختلاف

جدول ۶: مقایسه نتایج آزمایشگاهی با تحلیل نشریه ۳۴۵ تیرهای مقاوم شده با CFRP انعطاف پذیر

آزمایش (MPa)	دما °C	مقاآمت فشاری آزمایش استوانه ای نمونه	مقاآمت نهایی	درصد	اختلاف نتایج بدست آمده از آزمایشگاه در آزمایشگاه نمره ۳۴۵	مقاآمت نهایی نمره ۳۴۵
			نمونه های تیر	اختلاف نتایج بدست آمده از آزمایشگاهی و نمره ۳۴۵		
۱۹/۶۸	۲۰	۱۶	۱۵/۰۶	۵/۸۸		
	۵۰	۱۳	۱۴/۱۵	-۸/۸۵		
	۸۰	۱۰	۱۴/۱۵	-۴۱/۵۰		
	-۲۰	۱۸	۱۴/۱۵	۲۱/۳۹		
۳۰/۷۵	۲۰	۱۸	۱۹/۱۶	-۶/۴۴		
	۵۰	۱۴	۱۷/۱۹	-۲۲/۷۹		
	۸۰	۱۵	۱۷/۱۹	-۱۴/۶۰		
	-۲۰	۱۸	۱۷/۱۹	۴/۵		
۳۹/۵۵	۲۰	۲۱	۲۱/۵۱	-۲/۴۳		
	۵۰	۱۹	۱۹/۲۷	-۱/۴۲		
	۸۰	۱۸	۱۹/۲۷	-۷/۰۶		
	-۲۰	۱۹	۱۹/۲۷	-۱/۴۲		

آین نامه بتن ایران (آب) است.

جدول ۷: مقایسه نتایج آزمایشگاهی با تحلیل نشریه ۳۴۵ تیرهای مقاوم شده با CFRP سخت

آزمایش (MPa)	دما °C	مقاآمت فشاری آزمایش استوانه ای نمونه	مقاآمت نهایی	درصد	اختلاف نتایج بدست آمده از آزمایشگاه در آزمایشگاه نمره ۳۴۵	مقاآمت نهایی نمره ۳۴۵
			نمونه های تیر	اختلاف نتایج بدست آمده از آزمایشگاهی با نمره ۳۴۵		
۱۹/۶۸	۲۰	۱۶	۱۲/۱۳	۱۷/۹۴		
	۵۰	۱۳	۱۱/۷۵	۹/۸۳		
	۸۰	۱۰	۱۱/۷۵	-۶/۸۰		
	-۲۰	۱۵	۱۱/۷۵	۲۱/۶۷		
۳۰/۷۵	۲۰	۱۸	۱۶/۲۵	۹/۷۲		
	۵۰	۱۴	۱۴/۵۴	-۳/۸۵		
	۸۰	۱۵	۱۴/۵۴	۹/۱۳		
	-۲۰	۱۷	۱۴/۵۴	۱۴/۴۷		
۳۹/۵۵	۲۰	۲۱	۱۸/۴۳	۷/۸۵		
	۵۰	۱۹	۱۶/۴۹	۱۳/۲۱		
	۸۰	۱۸	۱۶/۴۹	۸/۳۸		
	-۲۰	۱۹	۱۶/۴۹	۱۳/۲۱		

جدول ۴: ضرایب کاهش محیطی برای مصالح FRP [۷و۱]

ضرایب محیطی ملايم	ضرایب محیطی پارکینگ بدون حصار)	ضرایب محیطی (تابسیسات شیمیایی و انتقال بسیار شدید و فوق العاده شدید فاضلاب)	ضرایب محیطی پایه ها و گاراژ های محیط خارجی (پل ها)	ضرایب محیطی کربن-اپوکسی شیشه-اپوکسی آرامید-اپوکسی
۰/۹۵	۰/۷۵	۰/۸۵	۰/۸۵	۰/۹۵
۰/۷۵	۰/۶۵	۰/۷۵	۰/۶۵	۰/۷۵
۰/۸۵	۰/۷۵	۰/۸۵	۰/۷۵	۰/۸۵

طبق آین نامه R2-440ACI، اگر سیستم FRP در یک محیط به نسبت ملايم مانند فضای داخلی قرار بگیرد، ضریب کاهشی تزدیک به ۱ است و اگر سیستم FRP در یک محیط خورنده و در معرض طولانی مدت رطوبت بالا، چرخه های بخ و ذوب، آب شور و یا مواد قلایی قرار بگیرد باید از ضریب کاهشی پایین تری استفاده شود.

جدول ۵: مقایسه نتایج آزمایشگاهی با تحلیل آین نامه ACI 02-440 تیرهای تقویت شده با CFRP سخت

درصد اختلاف نتایج بدست آمده از آزمایشگاهی با نمره ۳۴۵	مقاآمت نهایی نمره ۳۴۵	دما °C	آزمایش نمونه	مقاآمت نهایی نمره ۳۴۵	دما °C	آزمایش نمونه	مقاآمت نهایی نمره ۳۴۵	درصد اختلاف نتایج بدست آمده از آزمایشگاهی با نمره ۳۴۵
۱۹/۶۸	۲۰	۱۶	۱۵	۱۵	۲۰	۱۳	۱۵	-۱۵/۳۸
	۵۰	۱۰	۱۵	۱۵	۵۰	۱۴	۱۵	-۵/۰۰
	-۲۰	۱۸	۱۵	۱۵	-۲۰	۱۷	۱۵	۱۶/۷۶
	۳۰/۷۵	۱۸	۱۸/۱۸	۱۸/۱۸	۳۰/۷۵	۱۴	۱۵/۴۵	-۱/۰۰
۳۹/۵۵	۲۰	۱۵	۱۵	۱۵	۵۰	۱۵	۱۵/۴۵	-۳/۰۰
	۵۰	۱۵	۱۵	۱۵	۸۰	۱۸	۱۵/۴۵	۱۴/۱۷
	-۲۰	۱۸	۱۵	۱۵	-۲۰	۱۹	۲۴/۱	-۲۶/۸۴
	۳۹/۵۵	۱۹	۲۴/۱	۲۴/۱	۸۰	۱۸	۲۴/۱	-۲۳/۸۹
	-۲۰	۱۹	۲۴/۱	۲۴/۱				-۲۶/۸۴

در نمره ۳۴۵ سازمان مدیریت، شرایط محیطی مورد استفاده طبق تعریف

دیده نمی‌شود که احتمالاً ناشی از مشارکت کمتر تنش های حرارتی در مقاومت برشی کلی است، ولی نمونه های مقاوم شده با CFRP سخت که در دمای  $-20^{\circ}\text{C}$ -قرار گرفته اند، در هر سه رده مقاومتی بتن، مقاومت کمتری از خود نشان دادند.

روند شکست تیرهای بتی مقاوم شده با CFRP انعطاف‌پذیر بدین صورت است که در دماهای  $-20^{\circ}\text{C}$ - $+20^{\circ}\text{C}$  و پس از جدادشگی CFRP، لایه نازکی از بتن چسبیده به لایه چسب باقی می ماند (گسیختگی در بتن)، در حالیکه در دمای  $0^{\circ}\text{C}$ - $+50^{\circ}\text{C}$  و  $+80^{\circ}\text{C}$  پس از جدادشگی، بتن خیلی کمتری باقی می ماند (گسیختگی بین سطحی چسب-بتن).

روند شکست تیرهای بتی مقاوم شده با CFRP سخت بدین صورت است که در دماهای  $-20^{\circ}\text{C}$ - $+20^{\circ}\text{C}$  و پس از جدادشگی CFRP، لایه نازکی از بتن چسبیده به لایه چسب باقی می ماند (گسیختگی در بتن)، در حالیکه در دمای  $0^{\circ}\text{C}$ - $+50^{\circ}\text{C}$  پس از جدادشگی بتن خیلی کمتری متصل به چسب روی CFRP باقی مانده (گسیختگی بین سطحی چسب-بتن) و در دمای  $+80^{\circ}\text{C}$  پس از جدادشگی هیچ بتن و چسبی روی CFRP باقی نمی ماند (گسیختگی بین سطحی چسب- CFRP).

در دمای  $-20^{\circ}\text{C}$ - $+20^{\circ}\text{C}$  در هر سه رده مقاومتی بتن، نتایج آزمایشگاهی تیرهای مقاوم شده با CFRP انعطاف‌پذیر تطابق بهتری با مقاومت بدست آمده از روابط آئین نامه های ACI440-02 و نشریه ۳۴۵ نشان دادند. در دماهای  $+50^{\circ}\text{C}$  و  $+80^{\circ}\text{C}$ ، در هر سه رده مقاومتی بتن، نتایج آزمایشگاهی تیرهای بتی مقاوم شده با CFRP سخت، تطابق بهتری با مقاومت بدست آمده از روابط آئین نامه های ACI 02-440 و نشریه ۳۴۵ نشان دادند. در دمای  $-20^{\circ}\text{C}$ - $+20^{\circ}\text{C}$  در هر سه رده مقاومتی بتن، نتایج آزمایشگاهی تیرهای بتی مقاوم شده با CFRP سخت، تطابق بهتری با مقاومت بدست آمده از روابط آئین نامه های ACI 02-440 نشان دادند.

## ۷- مراجع

- [۱] "راهنمای طراحی و ضوابط اجرایی بهسازی ساختمان های بتی موجود با استفاده از مصالح تقویتی FRP" نشریه شماره ۳۴۵ سازمان مدیریت و برنامه ریزی.
- [۲] Ernst L. Klamer & Dick A. Hordijk , "The influence of temperature on RC beams strengthened with externally bonded CFRP reinforcement",
- [۳] Tuakta, C. and Buyukozturk, O., "Deterioration of FRP/concrete bond system under variable moisture conditions quantified by fracture mechanic", Composite Part B: Engineering, Vol.42, No.2, pp.145-154, 2011.
- [۴] Harries, K. A., Porter, M. L., and Busel, J. P. ;FRP materials and concrete - search needs.", Concrete International, 25(10), 69-74, 2003.
- [۵] Karbhari, V. M., Chin, J. W., Hunston, D., Benmokrane, B., Juska, T., Morgan, R., Lesko, J.

جدول ۸: مقایسه نتایج آزمایشگاهی با تحلیل آئین نامه ACI 02-440 تیرهای مقاوم شده با CFRP سخت

درصد اختلاف مقاومت نهایی نمونه های تیر آزمایشگاهی بدست آمده از در آزمایشگاه با نشریه ۳۴۵ نشریه ۳۴۵	مقایمت نهایی نمونه های تیر آزمایش با نشریه ۳۴۵ (MPa)	دماز °C	مقایمت فشاری استوانه ای آزمایش نمونه (MPa)
			نتایج آزمایشگاهی
۱۹/۶۸	۲۰	۱۶	۱۱/۴۷
	۵۰	۱۳	۱۰/۲۶
	۸۰	۱۱	۱۰/۲۶
	-۲۰	۱۵	۱۰/۲۶
۳۰/۷۵	۲۰	۱۸	۱۴/۹۵
	۵۰	۱۵	۱۳/۳۸
	۸۰	۱۴	۱۲/۳۸
	-۲۰	۱۷	۱۲/۳۸
۳۹/۵۵	۲۰	۲۰	۱۶/۹۱
	۵۰	۱۹	۱۵/۱۳
	۸۰	۱۷	۱۵/۱۳
	-۲۰	۱۹	۱۵/۱۳

## ۶- نتیجه گیری

از مطالب آورده شده می توان نتیجه گرفت که گرما هم بر روی مقاومت نهایی و هم بر روی نوع رفتار گسیختگی تیرهای بتی تقویت شده با CFRP تاثیر می گذارد. تصور اینست که تاثیر افزایش دما بر روی پخش تنش برشی در بتن، ناشی از سه عامل مهم: گسترش تنش های حرارتی در نتیجه اختلاف ضربی انبساط حرارتی، کاهش سختی چسب و کاهش مقاومت چسبندگی سطح تماس چسب-بتن، در دماهای بالا است.

همچنین می توان گفت که میزان کاهش مقاومت نهایی در دمای  $+80^{\circ}\text{C}$  نسبت به مقاومت نهایی در دمای اتفاق، با بالا رفتن رده مقاومت بتن کاهش یافته و مقدار کاهش مقاومت نهایی در دمای اتفاق تا رده مقاومتی ۳۰/۷۹ MPa افزایش یافته و پس از آن کاهش می یابد.

تیرهای تقویت شده با CFRP انعطاف‌پذیر، در هر سه رده مقاومتی بتن، نسبت به تیرهای تقویت شده با CFRP سخت، در دماهای  $+20^{\circ}\text{C}$ - $+50^{\circ}\text{C}$ ، مقاومت نهایی بالاتری از خود بروز دادند.

تیرهای تقویت شده با CFRP گرفته در دمای  $+50^{\circ}\text{C}$ - $+80^{\circ}\text{C}$  در هر سه رده مقاومتی بتن و هر دو نوع CFRP، مقاومت نهایی کمتری داشتند. نمونه های با CFRP انعطاف‌پذیر با رده مقاومتی بتن ۱۹/۶۸ MPa که در دمای  $-20^{\circ}\text{C}$ - $+20^{\circ}\text{C}$  گرفته اند، مقاومت نهایی بالاتری را نسبت به نمونه های دمای اتفاق دادند که می تواند ناشی از کنش تنش های حرارتی برخلاف تنش های بارگذاری باشد. این مسئله در نمونه های با رده مقاومتی ۳۰/۷۹ MPa و ۳۹/۵۵ MPa نیز برای دمای  $-20^{\circ}\text{C}$ - $+20^{\circ}\text{C}$  نشان داد.

- the 2nd International Congress. Naples: fib, 2006.
- [13] Miyano, Y., Nakada, M., Watanabe, N., Murase, T. and Muki, "Time-Temperature Superposition Principle for Tensile and Compressive Strengths of Unidirectional CFRP", Proceedings of 2003 SEM Annual Conference & Exposition on Experimental and Applied Mechanics (SEM 2003).
- [14] Matthys, S. , "Structural behaviour and design of concrete members strengthened with externally bonded FRP reinforcement.", Diss. Ghent University, 2000.
- [15] Teng, J. G., et al., "FRP strengthened RC structures.", West Sussex, England, John Wiley & Sons, 2002.
- [16] fib. fib Bulletin 14., "Externally bonded FRP reinforcement for RC structures.", Lausanne,Fédération internationale du béton, 2001.
- [17] Di Tommaso, A., Neubauer, U., Pantuso, A., and Rostásy, F. S. , "Behavior of adhesively bonded concrete-CFRP joints at low and high temperatures.", Mechanics of Composite Materials, 37(4), 327-338, 2001.
- [18] ASTM C1609-05, " Standard Test Method for Flexural Performance of Fiber-Reinforced Concrete (Using Beam With Third-Point Loading)" .
- [19] ASTM C 884/C 884M – 98, "Standard Test Method for Thermal Compatibility Between Concrete and an Epoxy-Resin Overlay".
- J.,Sorathia, U., and Reynaud, D. , "Durability Gap Analysis for fiber-reinforced polymer composites in civil infrastructure.", Journal of Composites for Construction, 7(3), 238-247,2003.
- [6] Plecnik, J. M., Bresler, B., Cunningham, J. D., and Iding, R. , "Temperature effects on epoxy adhesives.", Journal of Structural Division, 106(1), 99-113, 1980.
- [7] ACI 440.2R-02. , "Guide for the design and construction of externally bonded FRP systems for strengthening concrete structures.", American Concrete Institute,2002.
- [8] Bažant, Z. P. and M. F. Kaplan. , "Concrete at high temperatures: Material properties and mathematical models.", Concrete design and constructions series. Essex, Longman Group Limited, 1996.
- [9] ACI 216-89, "Guide for Determining the Fire Endurance of Concrete Elements, ACI Committee 216 Report", American Concrete Institute, 1989.
- [10] Saafi, M. , "Effect of fire on FRP reinforced concrete members.", Composite Structures, 58,11-20, 2002.
- [11] Chung J , "Nanoscale characterization of epoxy interphase on copper microstructures. ",BAM Dissertation Series, Volume 15,2006.
- [12] Leone, M., Aiello, M. A., and Matthys, S., "The influence of service temperature on bond between FRP reinforcement and concrete.", June 5, 2006. Fédération Internationale du Béton - Proceedings of